

2x3> E ...% b ü P \ ü P u b #. % 2

Dredging of Extremely Weak Ground and Consolidation of the Soil

0Y £ 8(Satoru Nishiyama) Æ (Etsaku Uchikawa) Û 4s µ(Ikuo Jo)

0[" :

-%0 5r d ?)\$!#Õ M •' b ë "@ #. £ ... c2x3> E ...% ... •[6 W S Q G ["I
f @ P+ê > | g ã)Ž ~/æ*(† z \ M •3> E u #. d 2 †6ä\$Î K>* @ P † ‹ K S 3> E u
b (c • V ž \ 7c V s K (_ (E S "I_7c V s A K (_ X 8 Z c>*3> E u
† ã)Ž ~/æ*([- Ó á ° > | g3?!T « Û ç † ç •) ¼ K>* M+á b u%Á \ K Z ... < • o] _
[] I Ø † Q K S Û ô 57 ° 6 v r [3> E u #. †/œ 8>* ë "@ _ Z Û'g Z4 B c Û ô 62
° [ö ç M • G \ _ ^ •

Synopsis :

Dredging of Extremely Weak Ground and Consolidation of the Soil

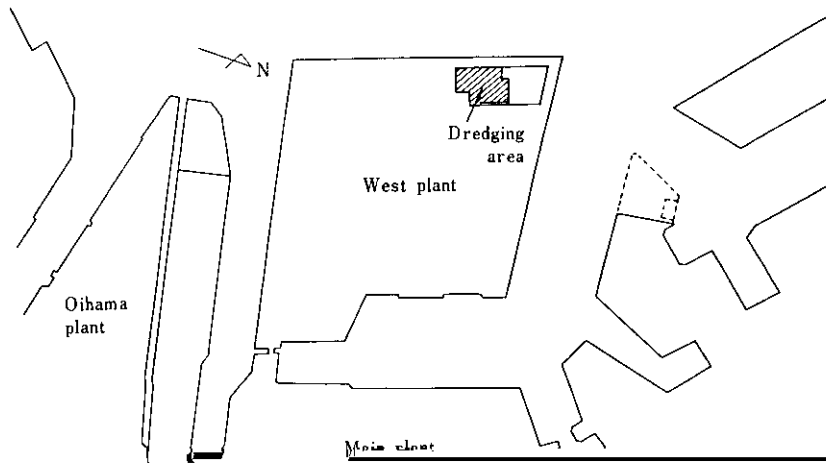
西山 領*
Satoru Nishiyama

内河 栄作**
Eisaku Uchikawa

城 郁 夫***
Ikuro Jo

Synopsis:

Since the area of the proposed yard for disposing of various wastes generated at Chiba Works is extremely



であることがわかる。掘削深さは A.P-8.0mを標

(2) 掘削能力が大であること。

Depth	Elevation	Soil classification	Moisture	Unconfined compression	N value
-------	-----------	---------------------	----------	------------------------	---------

軟弱土で埋立てられた場合、使用に供する安定した地盤になるまで、一般的に長年月を要し、工場あるいは住宅の建設計画に支障をきたすことが多い。従来、人も踏み入ることもできないほどの沼

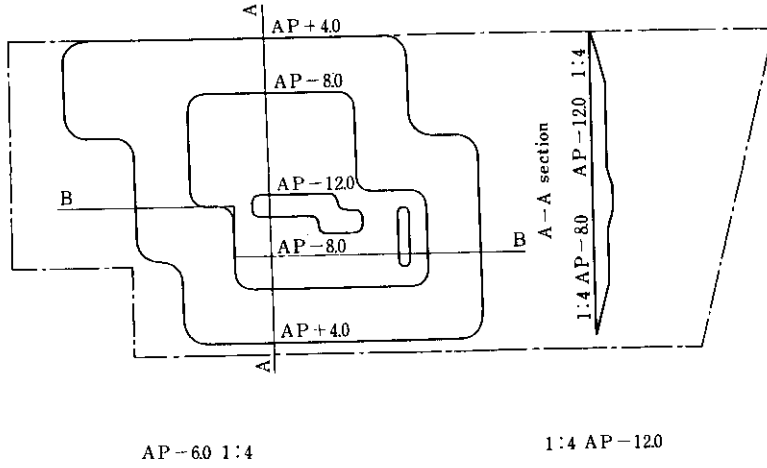
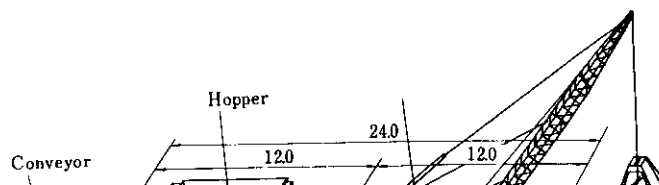
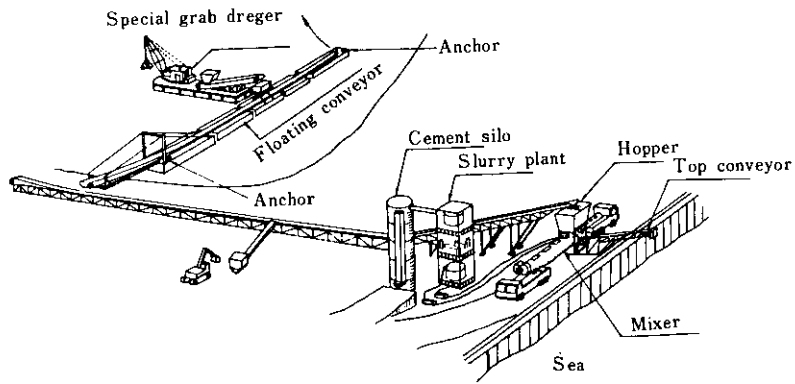
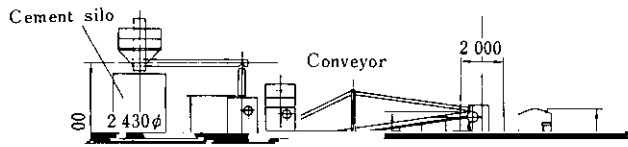


Fig. 3 Plan of dredging





(a) セメント添加試験

加して、今回使用したスラッグの材質、粒径であ

まで変化させたときの一軸圧縮強度を Fig.7 に示す。セメントの添加量が 30kg/m^2 以下の場合には

作業条件、エージング期間、粒度分布等の固結効果発揮への好条件がそろっている場合は転がスラ

Cement 20kg/m³

○ ——— 3rd day strength
× - - - - 7th day strength
△ - - - - 28th day strength

14
12

14
12

Curing in room {
 o ——— 3rd day strength
 x - - - - 7th day strength
 Δ - - - - 28th day strength

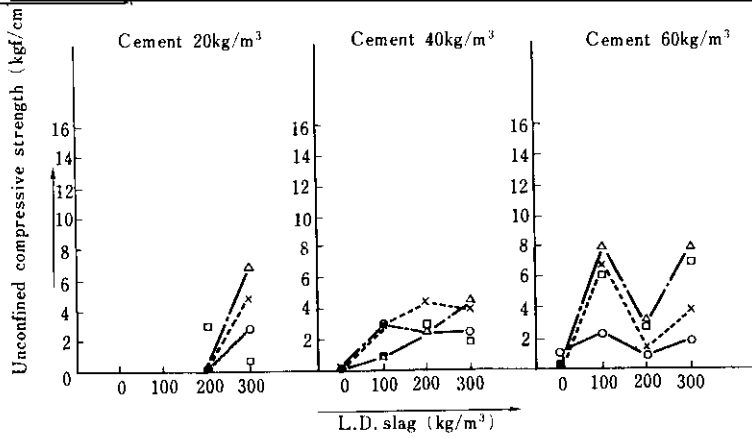
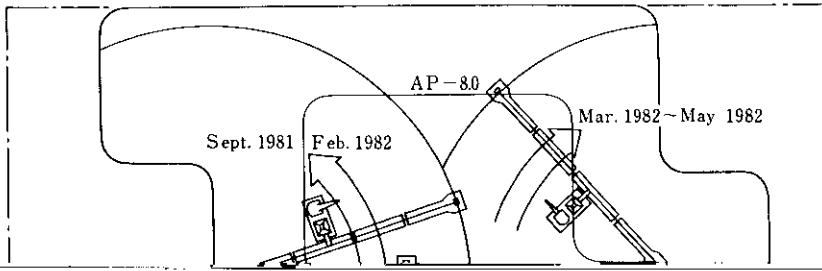


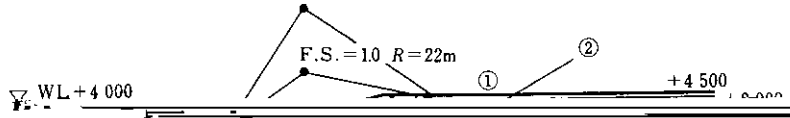
Fig. 11 Relation between unconfined compressive strength, cement and L.D. slag contents in weak soil at field test

れる。また同じセメント添加量であっても、100 コンベア，先端コンベアを経て，土運搬船に積込ま



- | | | | | | |
|--------|--|--------|---|--------|---|
| ① Slag | $\begin{cases} r = 20 \\ r' = 1.5 \\ \phi = 35 \end{cases}$ | ④ Silt | $\begin{cases} r = 1.5 \\ r' = 0.5 \\ C = 1.5 \end{cases}$ | ⑦ Slag | $\begin{cases} r = 2.0 \\ r' = 1.5 \\ \phi = 35 \end{cases}$ |
| ② Slit | $\begin{cases} r = 1.5 \\ r' = 0.5 \\ \phi = 15 \end{cases}$ | ⑤ Clay | $\begin{cases} r = 1.55 \\ r' = 0.55 \\ C = -2.1 + 0.183Z \end{cases}$ | ⑧ Clay | $\begin{cases} r = 1.45 \\ r' = 0.45 \\ C = 10.0 \end{cases}$ |
| ③ Sand | $\begin{cases} r = 1.6 \\ r' = 1.0 \\ \phi = 25 \end{cases}$ | ⑥ Clay | $\begin{cases} r = 1.45 \\ r' = 0.45 \\ C = -14.0 + 0.605Z \end{cases}$ | ⑨ Sand | $\begin{cases} r = 1.8 \\ r' = 1.0 \\ \phi = 35 \end{cases}$ |

Fig. 13. D-20



1. 設計を行って、E=10、E=17に設計用を、その中で廃棄物の重量が年公を担負して、

示す。震度係数 (k_g) を 0.1 のとき安全率が 1.0 を 当処分場の確保にあたって実施した処理工法は、

上まわるのは法肩から 60m 離れた位置であった。 昭和 56 年 2 月現在、予定どおりの処理能力を発揮し、相当量の実績を上げており、さらに一層の能

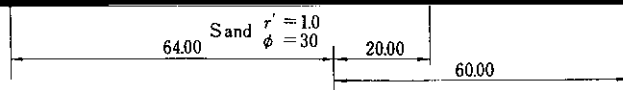
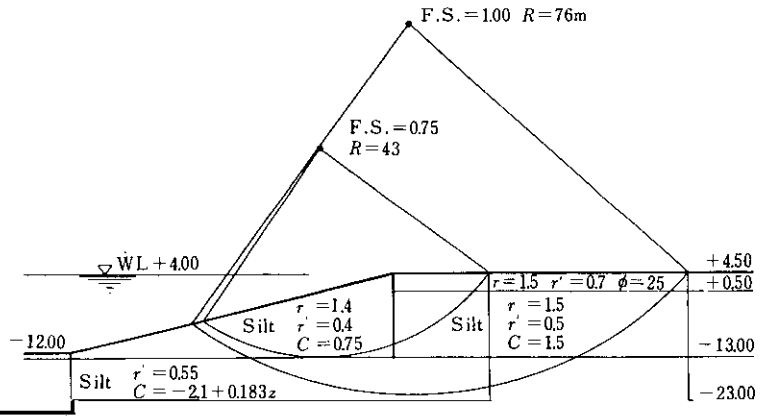


Fig. 17 Representative result of calculation for sliding by an earthquake ($k_v = 0.1$).

参考文献

- 1) 堀三喜 相作住居—掘削土—田崎利純技報 10 (1972) 9.2-5